

УДК 535.353

О МЕХАНИЗМЕ ТУШЕНИЯ ТРИПЛЕТНОГО СОСТОЯНИЯ ХЛОРОФИЛЛОПОДОБНЫХ МОЛЕКУЛ Ag-ПОРФИРИНАМИ

Сапунов В. В., Соловьев К. Н.

Методом импульсной кинетической спектроскопии исследовано тушение триплетного состояния ряда тетрапиррольных молекул с различной энергией нижнего триплетного состояния Ag (II)-порфиринаами. Полученные константы скорости тушения в 4—30 раз меньше констант скорости процессов, контролируемых диффузией молекул в растворе, определенных по формуле Вавилова—Дебая. На основе экспериментальных данных и результатов анализа сделан вывод о том, что наблюдаемое тушение связано с процессом образования комплексов из молекулы донора в триплетном состоянии и молекулы акцептора в основном состоянии. Оценены величины констант скоростей процессов образования и распада комплексов. Большие значения констант скорости распада комплексов ($> 10^6 \div 10^7 \text{ с}^{-1}$) свидетельствуют об относительной нестабильности таких комплексов и о большой эффективности процесса преобразования энергии возбуждения в комплексах.

Процессы дезактивации электронных возбужденных состояний органических молекул при их взаимодействии с другими многоатомными молекулами играют важную роль в различных биологических процессах, в том числе и с участием комплексов переходных металлов, к важнейшим из которых относятся комплексы с тетрапиррольными пигментами — Fe-порфирины и цианкобаламин (витамин B_{12}). Тушение нижнего триплетного состояния хлорофиллоподобных молекул комплексами Fe, Ni, Ag и Co с тетрапиррольными макроциклами исследовано в [1—4]. В этих работах установлено, что такие комплексы эффективно тушат нижнее триплетное состояние органических молекул, и показано, что рассмотренные тушители, за исключением цианкобаламина, обладают низколежащими состояниями, связанными с возбуждением иона металла. В то же время механизм тушения в подобных системах до конца неясен, в связи с чем представляется необходимым дальнейшее исследование тушения возбужденных состояний в таких системах.

Данная работа посвящена исследованию механизма тушения триплетного состояния Pd(II)-порфиринов и Mg-фталоцианина (Mg-ФЦ) Ag(II)-мезо-тетрафенилпорфином (Ag-ТФП) и Ag(II)-этиопорфирином I (Ag-ЭП) в толуоле и диметилформамиде (ДМФ) при комнатной температуре. Ag-порфирины являются родственными соединениями для природных Fe-порфиринов, Pd-порфирины выбраны в качестве доноров электронной энергии, поскольку они обладают интенсивной фосфоресценцией в жидких растворах при комнатной температуре, что упрощает проведение измерений. Mg-ФЦ использован как донор с малой энергией нижнего триплетного состояния ($E_t \sim 9000 \text{ см}^{-1}$ [5]).

Кинетика затухания фосфоресценции Pd-ЭП и Pd-ТФП регистрировалась на установке с импульсным фотовозбуждением (длительность импульса света $\tau_{1/2}^{\text{имп}} \sim 3 \text{ мкс}$, энергия $E \sim 4\text{--}10 \text{ Дж}$) в максимуме их спектров фосфоресценции — при 665 нм для Pd-ЭП и 692 нм для Pd-ТФП. Кинетика триплет-триплетного поглощения Mg-ФЦ регистрировалась на установке импульсного фотолиза ($\tau_{1/2}^{\text{имп}} \sim 25 \text{ мкс}$, $E \sim 100\text{--}200 \text{ Дж}$) в максимуме его спектра триплет-триплетного поглощения при 470 нм. Все растворы находились в вакуумных кюветах и обезгаживались по стандартной методике: многократное замораживание — откачивание под вакуумом — оттаивание.

Для достаточно широкого диапазона концентраций Ag-ТФП выполнены измерения зависимости длительности фосфоресценции (τ) Pd-ЭП (концентрация донора (Pd-ЭП) $C_d = 8.3 \cdot 10^{-6}$ моль/л) и Pd-ТФП ($C_d = 2.7 \cdot 10^{-5}$ моль/л). Полученные графики τ^{-1} от концентрации акцептора (C_A) приведены на рис. 1 и 2 (в [2] зависимость τ^{-1} Pd-ЭП от C_A была измерена для узкого интервала C_A , $C_A = 2.0, 4.0$ и $8.0 \cdot 10^{-6}$ моль/л при $C_d = 1.0 \cdot 10^{-6}$ моль/л, константа скорости тушения $K_t = 2.5 \cdot 10^9$ (моль/л) $^{-1} \cdot \text{с}^{-1}$). Как видно из рисунков, во всем диапазоне C_A тушение является линейным. Определенные по формуле Штерна—Фольмера $\tau^{-1} = \tau_0^{-1} + K_t C_A$ значения K_t равнялись: для системы с Pd-ЭП — 2.6×10^9 (моль/л) $^{-1} \cdot \text{с}^{-1}$, а для системы с Pd-ТФП — $2.9 \cdot 10^9$ (моль/л) $^{-1} \cdot \text{с}^{-1}$. Необ-

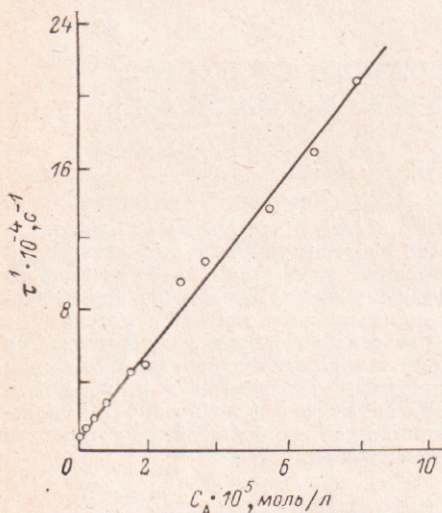


Рис. 1. Зависимость константы скорости дезактивации триплетного состояния $K = \tau^{-1}$ Pd-ЭП от концентрации Ag-ТФП в толуоле при 293 К.

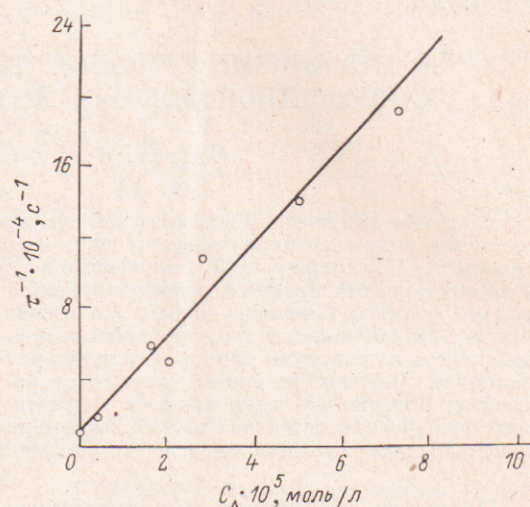


Рис. 2. Зависимость константы скорости дезактивации триплетного состояния Pd-ТФП от концентрации Ag-ТФП в толуоле при 293 К.

ходимо отметить, что полученные значения K_t примерно в 4 раза меньше величины константы скорости процессов, контролируемых диффузией молекул в растворе K_d , определенной по формуле Вавилова—Дебая [6]

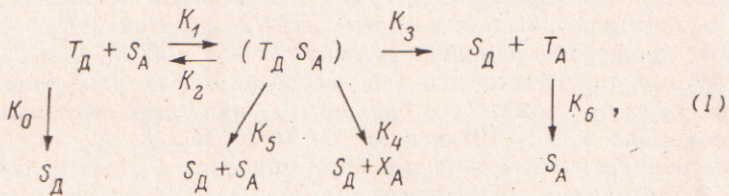
$$K_d = \frac{8kT}{3000\eta} \quad (1)$$

и равной для толуола $1.1 \cdot 10^{10}$ (моль/л) $^{-1} \cdot \text{с}^{-1}$ при 293 К [6]. Кроме того, эти значения K_t примерно в 2 раза меньше максимальных значений K_t , полученных для систем с участием хлорофиллоподобных молекул в толуоле [1], а также при тушении триплетного состояния органических соединений комплексами ряда переходных металлов [7].

Возможны несколько причин уменьшения величины K_t по сравнению с величиной K_d . В [2] предполагается, что это обусловлено наличием в молекуле Ag-ТФП четырех фенильных колец, расположенных под углом около 90° к плоскости макроцикла, что должно затруднить сближение молекул и протекание процесса межмолекулярного переноса электронной энергии. Однако полученные в данной работе близкие значения K_t для системы с Pd-ТФП, где такие фенильные кольца есть, и с Pd-ЭП, в молекуле которого фенильных колец нет, свидетельствуют о том, что наличие фенильных колец не оказывает заметного влияния на величину K_t . По-видимому, причина меньшего значения K_t по сравнению с K_d связана с особенностями механизма тушения. Отмеченное уменьшение величины K_t может иметь место, если процесс тушения обратим. К таким процессам относятся обратимый межмолекулярный перенос электронной энергии [8] и обратимое образование комплексов из молекулы донора электронной энергии в триплетном состоянии и молекулы акцептора в основном состоянии [9, 10]. Однако обратимый перенос электронной энергии для рассмотрен-

ных систем можно исключить, поскольку для него K_T должна зависеть от C_D [8], что не соответствует экспериментальным результатам для системы с Pd-ЭП, полученным в данной работе и в [2] (из результатов, приведенных ранее, следует, что K_T практически одинакова для $C_D = 8 \cdot 10^{-6}$ (моль/л) $^{-1} \cdot \text{с}^{-1}$ и $C_D = 1.0 \cdot 10^{-6}$ (моль/л) $^{-1} \cdot \text{с}^{-1}$). Наблюдаемая независимость величины K_T от C_D для системы с Pd-ЭП позволяет исключить и возможный процесс тушения фосфоресценции Pd-ЭП в результате образования фосфоресцирующих комплексов между молекулами Pd-ЭП и Ag-TFP в основном состоянии с τ , меньшим, чем для Pd-ЭП, когда K_T также должна зависеть от C_D . Образование комплексов в основном состоянии не обнаружено и по спектрам поглощения.

Наиболее вероятным процессом, при котором $K_T < K_n$, представляется процесс тушения триплетного состояния донора в результате обратимого образования комплексов из молекулы донора в триплетном состоянии и молекулы акцептора в основном. В то же время тушение, по-видимому, связано с межмолекулярным переносом электронной энергии, поскольку по своим свойствам рассмотренные в данной работе системы близки к системам, для которых получены доказательства того, что тушение триплетного состояния доноров связано с переносом энергии на тушитель [1, 2, 11]. Предполагаемая схема тушения имеет следующий вид:



где T_D и T_A — молекулы донора и акцептора в триплетном состоянии, S_D и S_A — эти молекулы в основном состоянии, X_A — низколежащие состояния, связанные с возбуждением Ag^{2+} . Следует отметить, что взаимодействие неспаренного d -электрона Ag^{2+} с π -электронами порфирина приводит к появлению вместо триплетного состояния порфиринового макроцикла двух относительно близкорасположенных дублетного и квартетного состояний, обозначаемых обычно как 2T_1 и 4T_1 , однако в целях простоты изложения мы будем говорить о триплетном состоянии акцептора и о $T - T$ переносе энергии. Возможно, что между состояниями пары донор—акцептор ($T_D S_A$) и последующими $T_A + S_D$, $X_A + S_D$ и $S_A + S_D$ существуют и другие их состояния, например комплексы ($T_A S_D$) и ($X_A S_D$), поскольку образование $T_A + S_D$ и $X_A + S_D$ непосредственно из комплекса молекул в других спиновых состояниях представляется маловероятным. Схема (1) учитывает, что процессы переноса энергии в соответствии с экспериментальными данными необратимы (об этом говорилось ранее).

Согласно кинетическому анализу механизма тушения со схемой, подобной (I) [12–14], дезактивация триплетного состояния доноров для ряда соотношений между константами скоростей $K_0 - K_5$ должна происходить по экспоненциальному закону и определяться константами скорости дезактивации $K = \tau^{-1}$, имеющими следующие выражения.

При малых C_A , когда справедливы неравенства $K_1 C_A \ll K_2$, K_{Π} (где $K_{\Pi} = K_3 + K_4 + K_5$ и $K_0 \ll K_2$, K_{Π}) возможны три следующих случая.

1. При $K_2 \sim K_n$

$$K = K_0 + \frac{K_1 C_A K_n}{K_2 + K_n}, \quad (2)$$

причем константа скорости тушения K_T имеет следующий вид:

$$K_T = \frac{K_1 K_n}{K_2 + K_n}, \quad (3)$$

т. е. $K_T < K_1$.

2. При $K_2 \gg K_n$

$$K = K_0 + \frac{K_1 C_A K_n}{K_2}, \quad (4)$$

$$K_T^* = \frac{K_1 K_n}{K_2}, \quad (5)$$

т. е. $K_T \ll K_1$.

3. При $K_2 \ll K_n$

$$K = K_0 + K_1 C_A, \quad (6)$$

$$K_T = K_1. \quad (7)$$

При увеличении C_A , когда выполняются соотношения $K_1 C_A \sim K_2$ и $K_1 C_A + K_2 \gg K_0 + K_n$, тушение перестает быть линейным, K имеет следующий вид:

$$K = \frac{K_2 K_0 + K_1 C_A K_n}{K_2 + K_1 C_A}. \quad (8)$$

Необходимо отметить также, что, согласно анализу [12-14], при больших C_A , когда выполняется условие $K_1 C_A \gg K_2, K_3, K_4$, величина K достигает своего предельного значения, равного K_n , и измерение зависимости τ^{-1} при больших C_A в принципе позволяет определить K_n , а затем и K_2 , однако в настоящей работе проведение измерений зависимости τ^{-1} от C_A при C_A , больших, чем рассмотренные, представляется нецелесообразным по следующей причине. Переходная область от малых C_A к большим C_A включает интервал изменения C_A по крайней мере в $10^3 - 10^4$ раз (от $C_A \ll K_2/K_1, K_3/K_1$ до $C_A \gg K_2/K_1, K_3/K_1$), а для области малых концентраций значения C_A достигают величины $8 \cdot 10^{-5}$ моль/л для систем с Pd-порфиринаами и $9 \cdot 10^{-6}$ моль/л — с Mg-ФЦ и, следовательно, области больших C_A должны удовлетворять значения C_A порядка и больше 10^{-1} моль/л, что невозможно практически достичь из-за низкой растворимости Ag-порфиринов.

Экспериментальные данные для систем с Pd-порфиринаами соответствуют случаю 1 схемы (I), когда $K_T < K_1$ (K_1 — константа скорости образования комплексов, этот процесс, по-видимому, контролируется диффузией, т. е. $K_1 = K_d$, где K_d определяется по формуле (1)). Следует отметить, что для всех образцов фосфоресценция Pd-ЭП и Pd-ТФП затухала по экспоненциальному закону, что также соответствует результатам анализа [12-14].

Сопоставление экспериментальных данных и результатов кинетического анализа позволило оценить величину ряда констант скоростей схемы (I). Прежде всего отметим, что величина K_0 определяется непосредственно из экспериментальных данных, как τ^{-1} при $C_A \rightarrow 0$. С помощью графиков на рис. 1 и 2 установлено, что для системы с Pd-ЭП $K_0 = 8 \cdot 10^3$ с⁻¹, а с Pd-ТФП — $K_0 = 9 \cdot 10^3$ с⁻¹. Далее, как было отмечено, можно положить, что $K_1 = K_d = 1.1 \cdot 10^{10}$ (моль/л)⁻¹ × с⁻¹ (293 К). Поскольку экспериментальные результаты соответствуют случаю 1 кинетического анализа (в частности, $K_T < K_1 = K_d$), K_T определяется выражением (3). Подставляя в это выражение значение $K_1 = K_d$ и экспериментальные значения K_T , получим, что для системы с Pd-ЭП $K_2 \approx 3.2 K_n$, а для системы с Pd-ТФП $K_2 \approx 2.8 K_n$, т. е. в обоих случаях $K_2 \sim K_n$. Другими условиями, при которых справедливы выражения (2), (3), помимо $K_2 \sim K_n$ являются условия $K_1 C_A \ll K_2, K_n$ и $K_0 \ll K_2, K_n$. Используя значения $K_1 = K_d$ и максимальные экспериментальные значения $C_A^{\max} = 8 \cdot 10^{-5}$ моль/л, получаем, что $K_2, K_n \gg \gg 8.8 \cdot 10^5$ с⁻¹, поэтому можно полагать $K_n > 3 \cdot 10^7$ с⁻¹ и, используя полученные соотношения между K_2 и K_n , получаем, что $K_2 > 9 \cdot 10^7$ с⁻¹ для обеих систем. В этом рассуждении мы полагаем, что знак « \gg » соответствует разнице не менее чем в 30 раз. Это численное значение, хотя и произвольное, не влияет существенно на результаты оценки. Значения K_n и K_2 много больше K_0 , что соответствует соотношению, при котором выполняются (2), (3). Следует отметить, что полученные таким образом значения K_2 и K_n весьма велики, в частности они значительно больше величин соответствующих им констант скоростей для процесса образования комплексов типа ($T_1 S_0$) для молекул Pd-ТФП [13].

Pd-ЭП [14], особенно K_n (в > 10³ раз). Это свидетельствует об относительной нестабильности образующихся комплексов ($T_{\text{Д}}S_A$) и о быстром преобразовании комплексов в последующие состояния пары донор—акцептор.

Помимо систем, где перенос энергии может происходить по двум каналам — на триплетное состояние и на низколежащие состояния, связанные с возбуждением Ag^{2+} акцептора, были рассмотрены и системы, для которых перенос энергии может осуществляться только на указанные низколежащие состояния. Донором электронной энергии здесь являлся Mg-ФЦ. Ввиду малой энергии его нижнего триплетного состояния по сравнению с нижним триплетным состоянием акцептора — Ag-ЭП ($E_T \approx 14\ 700 \text{ см}^{-1}$), $T-T$ перенос энергии от донора к акцептору для таких систем пренебрежимо мал. Рассмотрение Ag-ЭП представляло интерес, поскольку в отличие от Ag-ТФП в молекуле ЭП нет фенильных колец, она является типичным плоским порфириновым макроциклом. В качестве растворителя использовался, как и для предыдущих систем, толуол, а также ДМФ. Это связано с тем, что Mg-ФЦ плохо растворяется в толуоле,

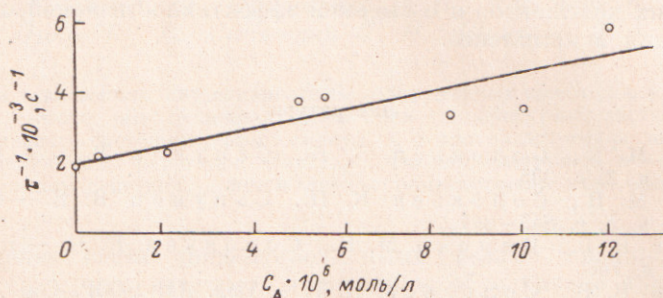


Рис. 3. Зависимость константы скорости дезактивации триплетного состояния Mg-ФЦ от концентрации Ag-ЭП в ДМФ при 298 К.

что затрудняет проведение измерений ввиду малости оптической плотности $T-T$ поглощения слабых растворов Mg-ФЦ в толуоле, в ДМФ Mg-ФЦ растворяется значительно лучше. Для систем с Mg-ФЦ тушение триплетного состояния, как и для ранее описанных, было линейным, константы скорости тушения составляли в толуоле — $K_T = 9 \cdot 10^8 (\text{моль/л})^{-1} \cdot \text{с}^{-1}$ при $C_D = 0.7 \cdot 10^{-6} \text{ моль/л}$ и в ДМФ $K_T = 2.6 \cdot 10^8 (\text{моль/л})^{-1} \cdot \text{с}^{-1}$ при $C_D = 1.2 \cdot 10^{-6} \text{ моль/л}$, (K_T определена из зависимости τ^{-1} от C_A , приведенной на рис. 3) и $K_T = 2.8 \cdot 10^8 (\text{моль/л})^{-1} \cdot \text{с}^{-1}$ при $C_D = 2.9 \cdot 10^{-6} \text{ моль/л}$. Экспериментальные значения K_T существенно меньше, чем значения K_d , тушение триплетного состояния Mg-ФЦ, по-видимому, обусловлено процессом по схеме (I).

Значения K_T для системы с Mg-ФЦ в толуоле значительно меньше, чем для систем с Pd-порфиринами. Это согласуется с данными кинетического анализа схемы (I), так как ввиду отсутствия для систем с Mg-ФЦ $T-T$ переноса энергии величиной K_3 можно пренебречь, поэтому K_n , $K_n/(K_n + K_2)$ и K_T для систем с Mg-ФЦ должны быть меньше, чем для систем с Pd-порфиринами. Кроме того, отношение величин K_T в толуоле и ДМФ для систем с Mg-ФЦ не соответствует отношению вязкостей этих растворителей и K_d , что также свидетельствует в пользу осуществления схемы (I), так как для межмолекулярного переноса энергии без образования комплексов ($T_{\text{Д}}S_A$) отношение K_T должно быть равно отношению K_d . Независимость в пределах ошибки измерений ($\pm 10\%$) K_T для разных C_D в ДМФ свидетельствует о том, что тушение не связано с обратимым переносом электронной энергии и образованием комплексов из молекул Mg-ФЦ и Ag-ЭП в основном состоянии. Аналогично описанному выше для систем с Mg-ФЦ также были оценены значения ряда констант скоростей. В случае толуола были использованы значения $K_1 = K_d = 1.2 \cdot 10^{10} (\text{моль/л})^{-1} \times \text{с}^{-1}$ при 298 К, из эксперимента была получена $K_0 = 1.7 \cdot 10^3 \text{ с}^{-1}$, C_A^{\max} составляла $8.9 \cdot 10^{-6} \text{ моль/л}$. Результаты оценки: $K_n > 3.3 \cdot 10^6 \text{ с}^{-1}$, $K_2 > 4.0 \cdot 10^7 \text{ с}^{-1}$ ($K_2 \approx 12.3 K_n$, т. е. $K_2 \gg K_n$); K_2 , $K_n \gg K_0$. В случае ДМФ $K_1 = K_d = 8.2 \times 10^9 (\text{моль/л})^{-1} \cdot \text{с}^{-1}$, из эксперимента $K_0 = 2.0 \cdot 10^3 \text{ с}^{-1}$ и $C_A^{\max} = 1.2 \cdot 10^{-5} \text{ моль/л}$. Результаты оценки: $K_n > 3.0 \cdot 10^6 \text{ с}^{-1}$, $K_2 > 9.0 \cdot 10^7 \text{ с}^{-1}$, т. е. $K_2 \gg K_n$ (имеет

место случай (2) кинетического анализа), K_2 , $K_n \gg K_0$. Отметим, что для систем с Mg-ФЦ отношение K_2/K_n существенно больше, чем для систем с Pd-порфиринаами. Значительное относительное уменьшение величины K_n по сравнению с K_2 для систем с Mg-ФЦ, по-видимому, связано с отсутствием вклада процесса $T-T$ переноса энергии, характеризуемого K_3 . Отсюда следует, что K_3 для систем с Pd-порфиринаами существенно больше, чем K_4+K_5 (в 4–10 раз). В то же время величины K_2 и K_n для систем с Mg-ФЦ, так же как и для систем с Pd-порфиринаами, достаточно велики, что позволяет сделать вывод об относительной нестабильности комплексов ($T_{\Delta}S_A$), аналогичный приведенному ранее для комплексов с Pd-порфиринаами.

Таким образом, полученные экспериментальные данные и результаты кинетического анализа свидетельствуют в пользу того, что тушение триплетного состояния рассмотренных соединений Ag-порфиринаами происходит путем образования комплексов из молекулы донора энергии в триплетном состоянии и молекулы акцептора в основном состоянии. Большие значения констант скоростей распада комплексов ($> 10^6 - 10^7 \text{ с}^{-1}$) говорят об относительной нестабильности таких комплексов и о высокой эффективности преобразования энергии возбуждения в комплексе.

Литература

- [1] Цвирко М. П., Соловьев К. Н., Сапунов В. В. — Опт. и спектр., 1974, т. 36, в. 2, с. 335.
- [2] Цвирко М. П., Соловьев К. Н., Сапунов В. В. — Опт. и спектр., 1976, т. 40, в. 5, с. 843–847.
- [3] Сапунов В. В., Цвирко М. П., Соловьев К. Н. — Биофизика, 1977, т. 22, № 5, с. 766.
- [4] Сапунов В. В., Соловьев К. Н. — Изв. АН БССР. Сер. физ.-мат., 1980, № 6, с. 60.
- [5] Vincent P. S., Voigt E. M., Rieckhoff K. — J. Chem. Phys., 1974, v. 55, N 8, p. 4131–4140.
- [6] Ермолаев В. Л., Бодунов Е. Н., Свешникова Е. Б., Шахвердов Т. А. Безызлучательный перенос энергии электронного возбуждения. Л., 1977. 311 с.
- [7] Wilkinson F., Farmilo A. — J. Chem. Soc. Faraday Trans. II, 1976, v. 72, N 3, p. 604–618.
- [8] Sandros K. — Acta. Chem. Scand., 1964, v. 18, N 10, p. 2355.
- [9] Takemura T., Aikawa M., Baba H. — Bull. Chem. Soc. Japan, 1974, v. 47, N 10, p. 2476.
- [10] Сапунов В. В. — В кн.: Всесоюз. совещ. по молекулярной люминесценции: Тез. докл. Харьков. 1982, с. 221.
- [11] Чубисов А. К., Калякин А. В., Зубрилина М. Е. — Биофизика, 1969, т. 14, № 5, с. 925.
- [12] Сапунов В. В., Соловьев К. Н., Егорова Г. Д. — Хим. физика, 1986, т. 5, № 8, с. 1044.
- [13] Сапунов В. В., Цвирко М. П. — Опт. и спектр., 1980, т. 49, в. 2, с. 283.
- [14] Сапунов В. В. — Изв. АН БССР. Сер. физ.-мат. наук, 1985, № 2, с. 52.

Поступило в Редакцию 22 мая 1986 г.